

a : 18C·Base b : 18C·5Nb c : 18C·10V d : 18C·5Nb10V
Photo. 1. Structures of as-rolled 0.18% C-Nb/V-steels.
 $\times 100$ (3/5)

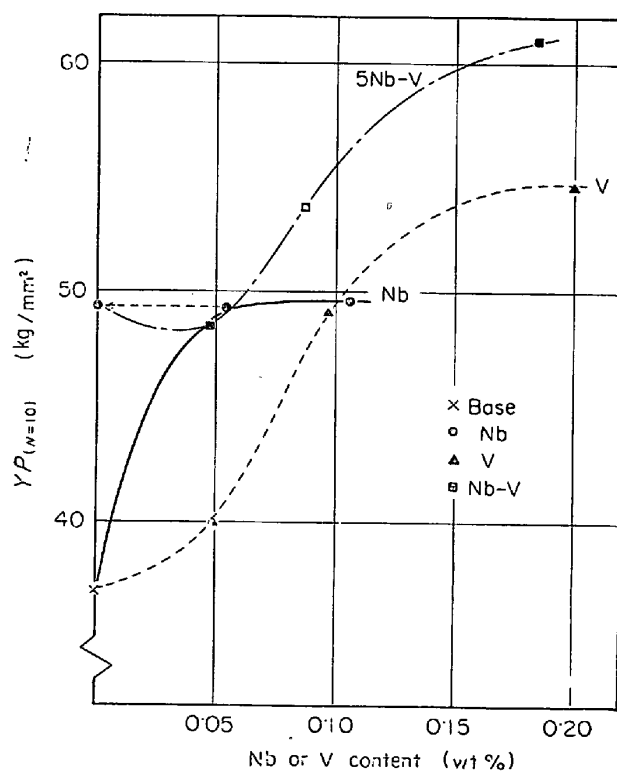


Fig. 1. Effect of Nb or V addition on strength of as-rolled 0.18% C-steels.

%V 鋼 (18C·5Nb20V) では、Nb および V を全く含まない Base 鋼 (18C·Base) に対して 25 kg/mm^2 における強度上昇が得られている。

上記の 18C·5Nb20V を薄膜にして透過電子顕微鏡観察を行なうと、その初析 α 部分には Photo. 2 に示すような微細な析出物の列が認められた。個々の析出物の大

きさは約 20\AA である。これらの析出物は A_1 温度以下の高温で焼なますと若干粗大化し、制限視野電子回折から約 $4.2\sim 4.3\text{\AA}$ の格子定数をもつ NaCl 型であることがわかつた。これらは NbC または V_4C_3 のいずれかまたはおそらくこれらの混合析出物で、Fig. 1 における強度上昇はこれらの炭化物の析出によるものと考えられる³⁾⁴⁾。こういう析出物の列は 0.10% 以上の V を含むものには見い出されたが、Nb 単独添加系や 18C·5V, 18C·5Nb5V では熱延材を A_1 温度直下で焼なしても見い出されなかつた。

ところがこういう微細な析出物のほかに、Nb を含む熱延材中には Photo. 3 に示すような 1000\AA 程度の大きな析出物が見い出された。こういう析出物は制限視野電子回折によつて格子定数約 4.5\AA の NaCl 型であることがわかつた。また鋼中での NbC の溶解度曲線を示す Fig. 2* から

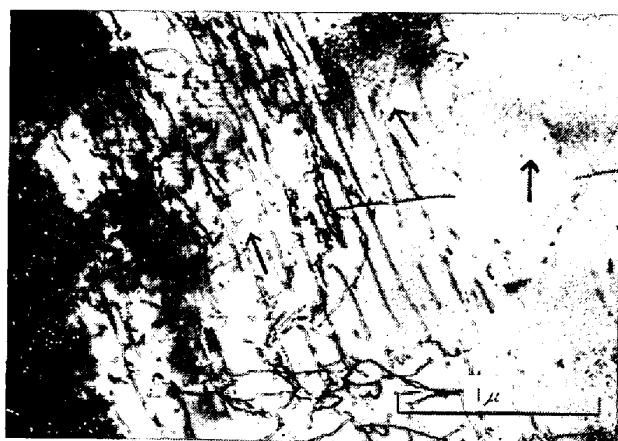
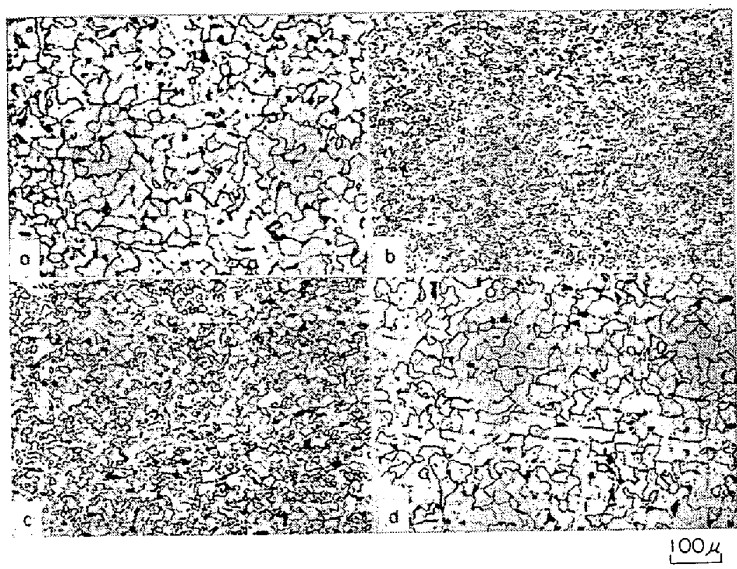


Photo. 2. Lines of fine carbides in as-rolled 18C-5Nb20V.



Photo. 3. Coarse NbC in as-rolled 18C-5Nb.

* Fig. 2 中の溶解度曲線については Appendix I で詳述する。



a : 5C·Base b : 5C·10Nb c : 5C·10V d : 5C·5Nb10V
 Photo. 4. Structures of as-rolled 0·05%C-steels.
 $\times 100$ (4/7)

る温度域⁶⁾では $130 \text{ deg}\cdot\text{C}/\text{min}$ という急冷であることを考慮すると、この反応に与かる固溶C量は Nb や V を含まない Fe-C 状態図から定まる初析 α 中のいわゆるパラ平衡の C 濃度²²⁾に近いものと考えられる。したがつてこれは主として温度のみの関数であつて、材料の全 C 量とは独立である。それゆえこの種の析出硬化はさらに高い靭性および溶接性が期待できる極低 C 系でも²³⁾可能と考えられる。そこで 0·05% C 系について検討を進めた。0·18% C 系では 0·05% 以上の Nb を添加しても均熱時に γ 中に溶け込む Nb 量については不变であるため強度の上昇に結びつかなかつたが、この 0·05% C 系では Fig. 2 からもわかるように、 1200°C の均熱条件でも 0·10% 以上の Nb が γ に固溶しうるようになる。

0·05% C 系熱延材の代表的な光学顕微鏡組織を Photo. 4 に示す。0·18% C 系に比べて、パーライトの体積分率が非常に少なくなり、いわゆる Pearlite Reduced Steel²⁴⁾ になる。含 Nb 材は細粒化するが、その程度は 0·18% C 系ほどではない。

Nb または V 添加による強度上昇の様子を Fig. 4 に示す。この図から、Nb による強化能は C 量をここまで下げても期待に反してやはり 0·05% の Nb 添加で飽和してしまうこと、および、V による強化能は低 C 化により著しく低下し 0·1% 添加でも有意とならず Nb 単独添加系との差は 0·18% C 系より大きく開くことがわかる。しかしこの図ではあまり明りようではないが、後で詳述するように、複合添加系での強度上昇は Nb および V を単独添加した場合の強度上昇の和より大きい。Table 3 から、この 0·05% C 系熱延材の全析出 Nb 量 (Nb

insol in HCl) は添加 Nb 量の 60~70% に達するが強化に関与すると考えられる 4Nb_{ppt} はその一部にすぎず、0·18% C 系と同様に 0·05% 以上の Nb の添加は主として Nb insol in HNO_3 の増加となつてゐる、ことがわかる。Appendix I における Nb insol in HNO_3 の評価にしたがえば、この Nb 量は均熱時に γ に未溶解の Nb が γ 中に再析出した Nb のどちらかである。最初に前述のようにはたして 5C·5Nb および 5C·10Nb 中の NbC が 1200°C での均熱時に γ 中に固溶するかどうかの検討を行なつた。熱延前の鍛造材から切り出した小試片を均熱条件と同じ $1200^\circ\text{C} 2$ hr の保持から氷食塩水中に焼入れ、試片の HCl 不溶 Nb を定量した。その結果は Table 4 の 1 に示すように、両鋼種とも均熱時には少なくとも添加 Nb 量の 90% 以上が γ 中に溶けていることがわかつた。

Fig. 2 から 5C·5Nb でも準静的冷却されれば約 1070°C で NbC の析出が始まることがわかる。Appendix I で示すように、0·18% C 系 Nb 鋼では熱延のない場合の冷却材中では γ 中の NbC の析出はほぼ無視してよい (Fig. 13)。NbC の析出反応はおそらく速度のおそい Nb の拡散律則と考えられるが、0·05% C 系 Nb

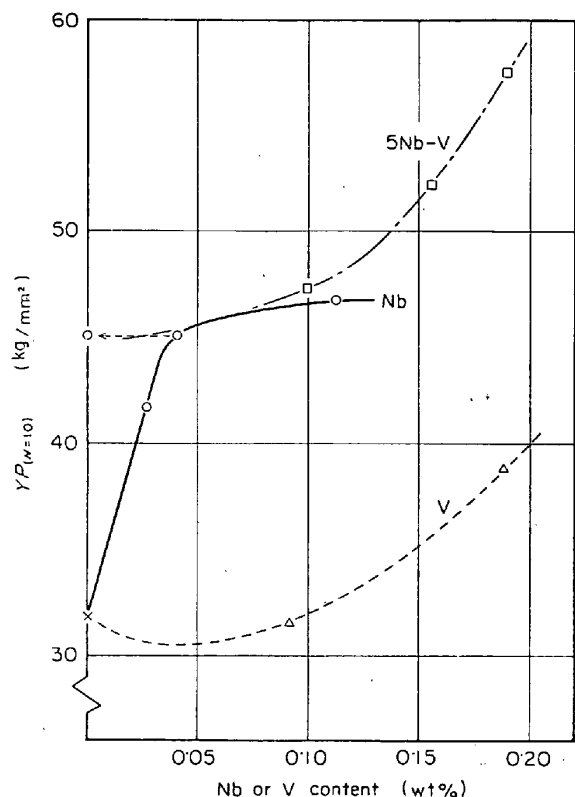


Fig. 4. Effect of Nb or/and V addition on strength of as-rolled 0·05% C-steels.

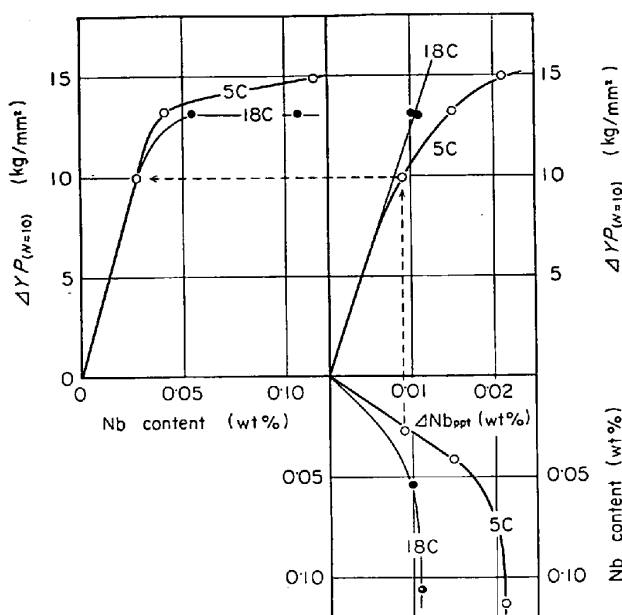


Fig. 6. Effect of Nb addition and amount of Nb precipitates on strengthening of as-rolled steels.

第1に添加 Nb 量あたりの析出量は 0.05%C 系のほうが多くなっている。これは低 C 化による γ/α 変態温度の上昇によって説明できる。通常の成分範囲の Nb 鋼の γ/α 変態直後の初析 α 中では、析出を支配する Nb の拡散速度は変態前の γ 中と比べて非常に高くなり²⁵⁾その上変態によって導入された高い析出サイト密度のために急激な析出反応が進行するはずである。Table 2 に示したように熱延時の Ar₃ 温度も 0.18%C から 0.05%C に C 量を下げることより大幅に上昇する。一般に Fe₃C も含めて炭化物や窒化物は γ 中より α 中で低い溶解度を示し、とくに NbC の α 中溶解度は Fig. 2 で示すよう



Photo. 5. Lines of NbC as-rolled steels.

に極低 C 系の Ar₃ 温度近くの高温でも極めて低いことが期待される。それゆえ拡散の十分行なわれる高温の α 域の拡がった極低 C 系で多量の α 中 NbC の析出が進行するのは当然のことと考えられる。

第2に ΔNb_{ppt} あたりの強化能は 0.05%C 系のほうが低い。上述の α としての存在時間が高温側でふえるということは過時効が起こり難いとされている Nb 鋼²⁴⁾²⁷⁾でもその危険性が高まる²⁸⁾²⁹⁾ことを意味する。0.18%C 系熱延材に比べてより高い割合の α が高温で変態する 0.05%C 系熱延材では変態時に生じた析出サイトの消滅速度も相対的に高くなり、この効果も極低 C 系で過時効粒子がふえる傾向を強める。以上が低 C 化による ΔNb_{ppt} あたりの強化能の低下の原因であろうと考えられる。Photo. 5 に 0.05%C 系の 2 種の熱延材 5C-5Nb および 5C-10Nb の初析 α 中に見い出された NbC の列を示す。含 Nb 热延材の析出硬化の主因と考えられているこの種の析出物⁴⁾は ΔNb_{ppt} あたりの強化能が高かつた 0.18%C 系 Nb 鋼では熱延材を高温の α 域で焼もどしても見い出せなかつたのに対して、この 0.05%C 系では容易に頻度多く見い出すことができた。この傾向は ΔNb_{ppt} の定量結果の傾向とよく一致する。先に求めた α 中で整合歪最大となる NbC 粒子の大きさも考慮すると、Nb 鋼において 150 kV 程度の電顕で観測できる程度の大きさの NbC 粒子はすでに過時効状態にあると考えてよいのではなかろうか。

以上をまとめると、いずれも十分な実験的証明までにはいたらないが、極低 C 高 Nb 鋼でいつたんは均熱時に多量の Nb を γ 中に溶かしこみながらそれにふさわしい強度の上昇が得られないのは、この Nb の高い活量と熱延による γ 中の NbC の析出と高い γ/α 変態温度による α 中析出の NbC の過時効によるものとして一応矛盾なく理解できる。

次に 0.05%C 系における V 添加による強化能の低下について考察する。V 単独添加系における添加 V 量、強度上昇および ΔV_{ppt} の相互の関係を 0.18%C 系と比べて Fig. 7 に示す。この図から 0.05%C 系での添加 V 量あたりの強度上昇は 0.18%C 系より相当低下し 0.2% 添加ではじめて有意となること、析出 V 量については Nb 単独添加系 (Fig. 6) では低 C 化によって析出 Nb 量が増加したのと逆に 0.05%C 系では少なくなること、また析出量あたりの強化能いいかえると析出硬化の効率は Nb 単独添加系と同様に 0.05%C 系で低下するがその程度はさらに著しくなつていることがわかる。

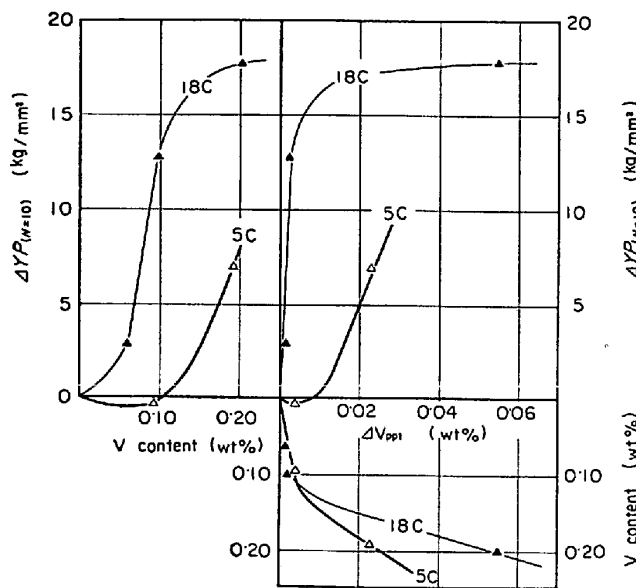


Fig. 7. Effect of V addition and amount of V precipitates on strengthening of as-rolled steels.

結論から先にいうと、上記の諸傾向はいずれも低C化による γ/α 変態温度の上昇によって統一的に説明できる。

Appendix IIで詳述するようにFig. 2のNbCおよび V_4C_3 の溶解度曲線はパラ平衡における析出開始温度曲線に相当する。前述したようにこの図は α 中のNbCおよび V_4C_3 の析出反応に関与するC量は材料の全C量と独立であることを示すが、同時に V_4C_3 については低C化によって Ar_3 温度が上昇した場合には少なくとも Ar_3 温度直下で変態した初析 α 中ではその析出が進行するに十分な過飽和度に達していない場合も存在することを示す。すなわちFRT 900°Cの7mm厚熱延材における Ar_3 温度は、0.18%C系では約710°Cにあるが、0.05%C系では約760°Cくらいにまで上昇する。このとき0.10%のVを含む材料についていえば、0.18%C系では初析 α 中で V_4C_3 はすでに過飽和状態にあり変態後直ちに激しい析出が進行しうるが、0.05%C系ではパラ平衡の析出開始温度にも達していない。それゆえ5C・10Vでは Ar_3 温度直下で変態した α 粒内では変態によって導入された析出サイトも次第に消滅せざるを得ない。冷却とともに V_4C_3 の溶解度は下がり過飽和度も高くなってきたときにはこれらの粒内では V_4C_3 析出のために用いる析出サイトの密度はきわめて少なくなってしまう。この過程は必然的に低C系における析出粒子数と析出量

の減少および析出粒子の過時効をもたらすはずである。もつともこの5C・10Vでもさらに低温の Ar_1 温度直上で変態した α 粒内では0.18%C系と同様に変態と同時に V_4C_3 の析出は進行するが、材料全体としては低C材における析出量の減少と過時効粒子の分率の増大は避けられない。0.05%C系でも5C・20Vにあつては Ar_3 温度直下であつても初析 α は十分に V_4C_3 に関して過飽和であつて、Fig. 7で0.20%Vの点では有意な強度上昇を示すのとよく一致する。ところがその鋼中の溶解度がこの V_4C_3 よりもはるかに小さいNbCの析出の場合(Fig. 2)には、低C化による Ar_3 の上昇に由来する上記の過程のうちで前述のように過時効こそは生ずるが、変態直後の α 中で直ちに析出を開始させそれによつて変態により導入された析出サイトの消滅を抑えその後のNbC析出を可能にするだけの十分な過飽和度が保証されている。それゆえNb単独添加系の場合は低C化によつて析出粒子の増加と過時効が相まって進行し、その結果析出量あたりの強化能はC量にあまり依らないという結果が生ずるのである。

このV単独添加系における γ/α 変態点直下での V_4C_3 過飽和度の不足による現象は低V化によつても生じうる。すなわちたとえば18C・5Vでは Ar_3 温度自身は相當に低くとも、 V_4C_3 の析出開始温度はFig. 2の0.10%Vの線よりさらに低くなるからである。前節の0.18C-含V系で0.10%以上のV添加ではじめて強度上昇が有意となる(Fig. 3)という事実も上記の考察とよく一致する。

これらの熱延材の初析 α を透過電顕で観察した結果はたして上記の推測通りであつて、 Ar_3 温度でも V_4C_3 の過飽和度の高い18C・20Vや5C・20Vでは列状に

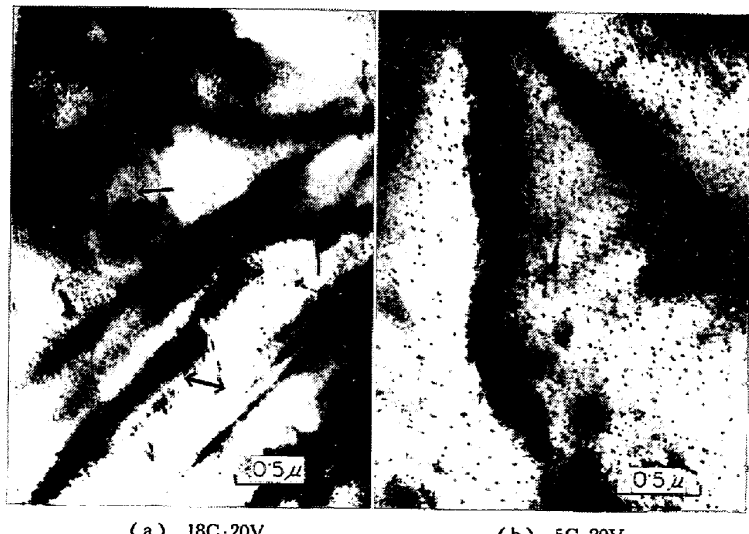


Photo. 6. Lines of V_4C_3 precipitates in as-rolled steels.

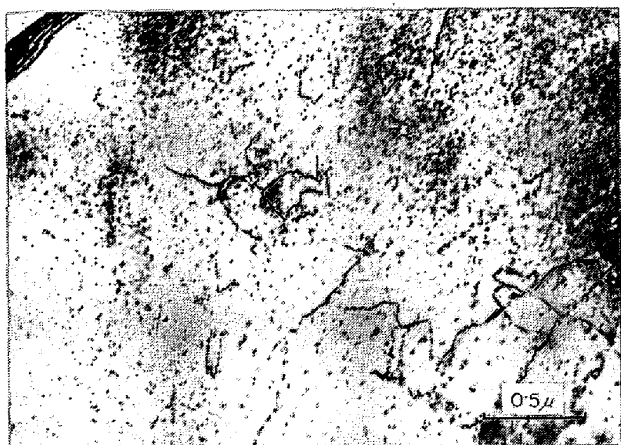


Photo. 7. Finely dispersed V_4C_3 precipitates in as-rolled 18C-20V.

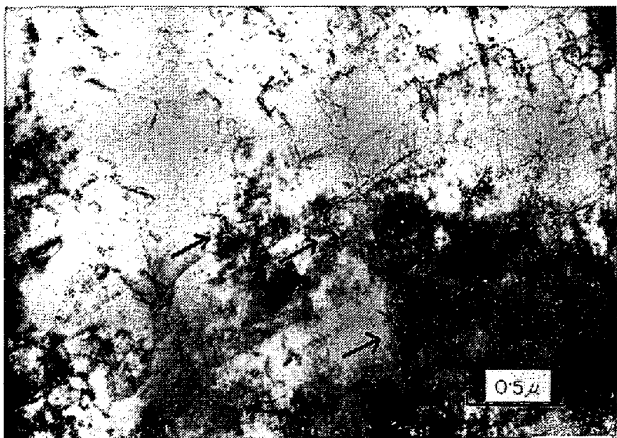


Photo. 8. Contrasts on dislocations seem due to precipitates, as-rolled 5C-10V.

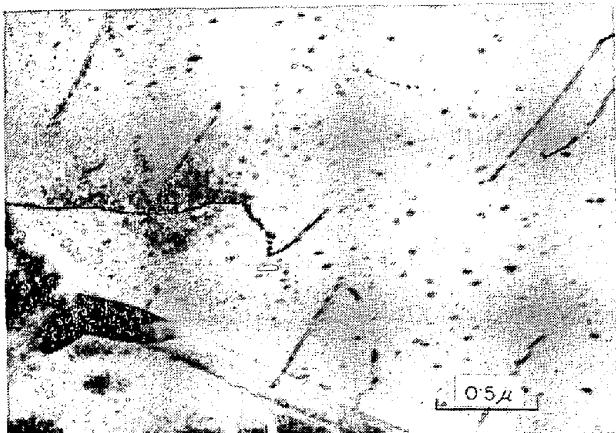


Photo. 9. Lined-up and coarse dispersed V_4C_3 precipitates in as-rolled 5C-10V.

析出した V_4C_3 (Photo. 6) や細かく分散した V_4C_3 (Photo. 7) が観察された³⁾⁽⁶⁾のに対し、過飽和度の不足する 5C-10V では主として転位上への析出らしいコントラスト (Photo. 8)を得たのみであつた。さらに Photo. 6 では析出粒子は変態点の高い 5C-20V のほうがはる

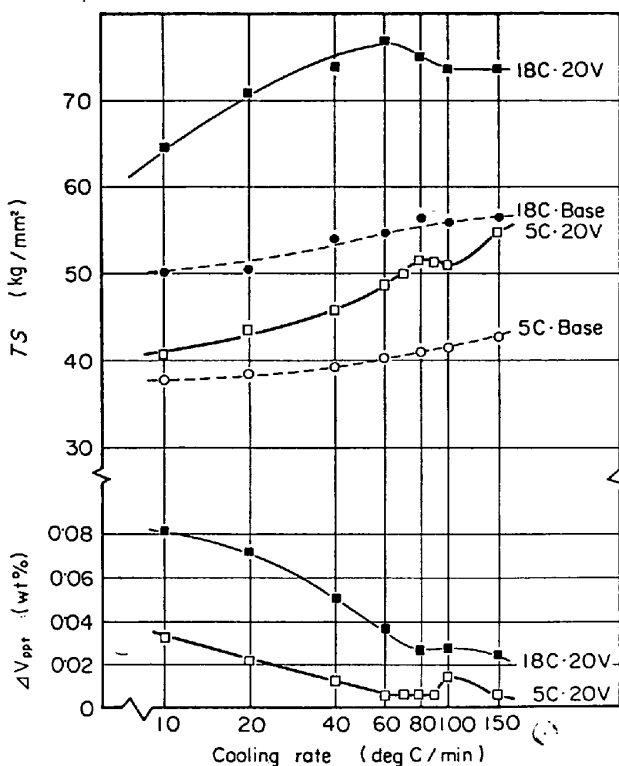


Fig. 8. Cooling rate dependence of tensile strength and amount of V precipitates in 18C-20V and 5C-20V.

かに粗く、過時効の様相を示し、Fig. 7 におけるC含量による差をよく説明する。Photo. 9 は 5C-10V における列状析出した V_4C_3 の唯一の写真で、その列もこの結晶粒で最後に γ から変態したと考えられる α 粒とセメントタイトとの粒界近くに存在し、分散している V_4C_3 粒子も粗大化している。前述のように 18C-5V でも列状の析出物は見い出されなかつた。

以上のようなV添加の非調質鋼における析出硬化の特異性は、ひとことでいえば、NbC に比べて相当に高い V_4C_3 の溶解度のゆえとすることができよう。この Fe-V-C 系の特色は次に述べる実験でもよく現われている。上述の熱延材に関する諸結果では合金添加量が多いほど炭化物としての析出量も多かつたが、以下の実験は同一材料で冷却速度を変えて析出量と強度上昇の関係を調べたものである。Fe-V-C 系の γ からの冷却材の強度には著しい冷却速度依存性があるが³⁾⁽⁶⁾、Fig. 8 は前述の 18C-20V と 5C-20V およびそれぞれの Base 鋼を 1050°C 1 hr の溶体化ののち、速度を変えて室温まで等速冷却したときの強度および析出 V 量の冷却速度依存性を示す。この図の各点の組織は Photo. 10 に示すように冷却速度の変化に応じてフェライト・パーライト組織からフェライト・ベイナイト組織に連続的に変化している。強度の評価には結晶粒度依存性の少ない抗張力 (T_S) をえ

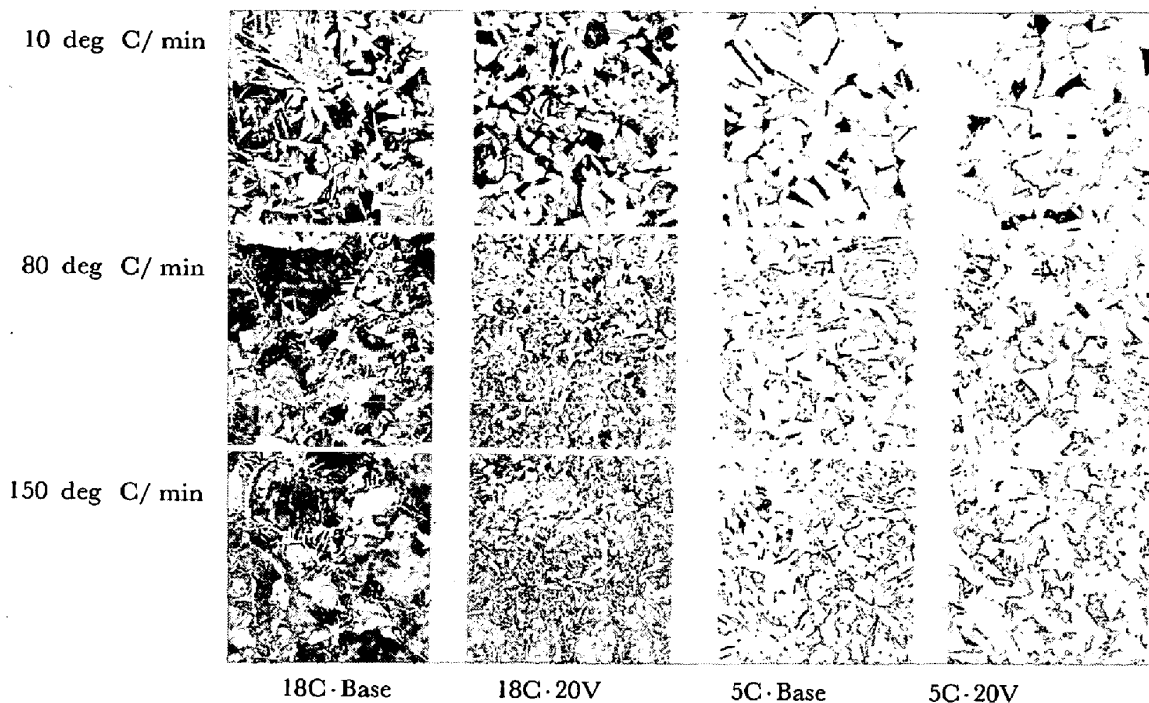


Photo. 10. Structures of 18C·Base, 18C·20V, 5C·Base and 5C·20V continuously cooled from 1050°C. $\times 100$ (2/3)

らんだ¹²⁾³⁰⁾。強度の極大を示す冷却速度は 18C·20V では 50 deg·c/min に現われるが、5C·20V では急冷側に移動して 80 deg·C/min に現われている。組織による強度変化の効果を一応消去した形にした 0·2% の V 添加のみによる強度上昇、 ΔTS , とこのときの析出 V 量 ΔV_{ppt} の関係を示したのが Fig. 9 である。この図から 18C·20V は 5C·20V よりも析出量多く、同じ析出量でも強度上昇はるかに大きいことがわかる。また同図で、18C·20V には析出量の増大が強度の上昇と結びついている段階がはつきり存在するのに対して、5C·20V ではこの部分は明りようでなく一般的な傾向は右下がりである。以上の諸傾向はいずれも熱延材の議論と同様に主とし C 量の差による γ/α 変態温度の差で説明できる。この場合の特徴は、低 C 化による γ/α 変態温度の上昇が変態点通過後に析出を開始する V_4C_3 の析出サイトの消滅をはやめることと析出可能温度域を高温側に拡げることを通じて、 V_4C_3 粒子の過時効の出現をより急冷側に移動させることである。すなわちこの場合には同一材においても冷却速度が遅くなるにつれて析出の進行が硬化の増大から過時効に転じ、この過程で強度上昇の極大が生ずると解釈できる。同様な冷却材における強度の冷却速度依存性の変化は添加 Mn 量によって A_{γ} 温度を変化させた極低 C 高 Nb 系でも見い出されている²⁶⁾。

主として VN の析出硬化を利用した鋼に Bethlehem

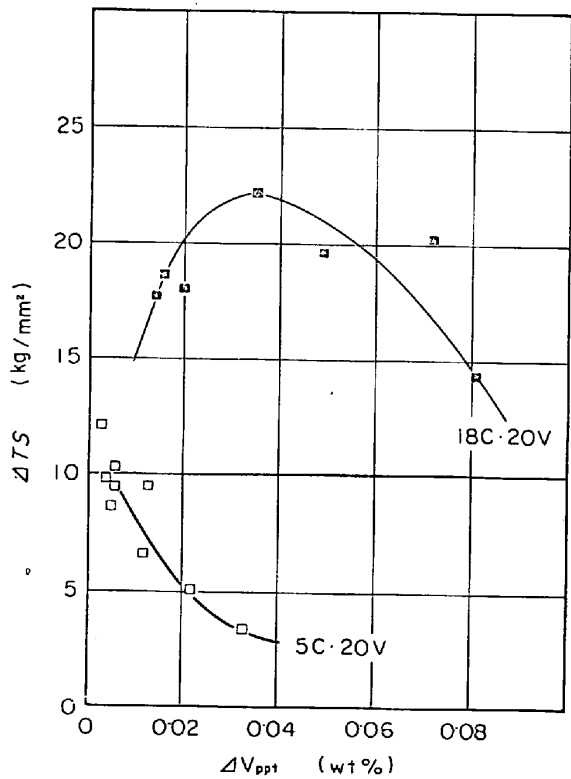


Fig. 9. Effect of amount of V precipitates on strengthening in 18C·20V and 5C·20V continuously cooled from 1050°C.

Steel Co. の「V-Steel」がある³¹⁾。この鋼の析出 V の大部分は窒化物でありながら³¹⁾³²⁾、0·06% から 0·16% へ

ところが $0\cdot05\%$ C 複合添加系になると事情は大分異なる。Fig. 11 には 5C·Base および 5C·5Nb に V を添加した場合の前掲諸量*の変化の様子を $0\cdot18\%$ C 系の場合と比較したものである。この図からまず前述の強度における複合効果はこの $0\cdot05\%$ C 系ではプラスになっていることが直ちにわかる。第2に析出V量も複合系のほうが多い。しかし第3として析出V量あたりの強度上昇は複合系と単独系でほぼ等しくなっていることがわかる。

この複合添加系熱延材 5C·5Nb10V の析出物の状況を Photo. 11 に示す。同量の V を含む単独添加系 5C·10V 中には析出物はほとんどなく (Photo. 8), まれに見い出される析出物も粗かつた (Photo. 9) のに対して複合系 5C·5Nb10V では列状の微細な析出物が α 粒内のいたるところに見い出された。すなわち $0\cdot05\%$ C 系に現われる強度におけるプラスの複合効果は、低 C 材であることに基づく高い γ/α 変態温度にもかかわらず、より析出しやすい NbC によって V_4C_3 が細かく析出しうるサイトが保存されるためであるとするとことができる。上記の析出物の分布の差にもかかわらず析出 V 量あたりの強度上昇が単独系と複合系で差がないのは、 $0\cdot05\%$ C 複合系でも V_4C_3 の析出サイトの少なくとも一部は $0\cdot18\%$ C 系と同じく優先析出した微細な NbC であり、この場合も V_4C_3 の析出により NbC の析出硬化は相当減殺されているためと考えてよいであろう。

最後に $0\cdot05\%$ C 系熱延材を α 域で焼もどしたときに現われる複合効果を Fig. 12 に示す。ここでは複合添加系として 5C·5Nb20V をえらび、その焼もどし時のビ

ッカース硬度 (Hv) の変化を加成性を仮定して 5C·Base 5C·5Nb および 5C·20V の Hv の変化から合成した値と比較した。700°C 以下の焼もどし温度で得られる Hv のプラスの複合効果は右側の図における 5C·5Nb20V と 5C·20V の焼もどし時の析出 V 量の差とよく対応している。熱延材の焼もどしにあたつては α 地への新しい析出サイトの導入の可能性はほとんど考えられないので、 V_4C_3 (および NbC) の追加析出のサイトとしてはほとんどが既存の析出物ないしはこれらによつて捕捉されていた転位と考えられる。それゆえ Fig. 12 に示す焼もどし材での複合効果の原因は今まで議論してきた熱延材における複合効果と同質のものと考えてよいであろう。さらにこの図では $0\cdot2\%$ の V を含む系では熱延材の焼もどしによつて明らかな強度上昇が認められるが、ここでも析出量の増大が強度上昇と明らかに結びついている例が現われていることをつけ加えておく。

4. 総 括

C 量を $0\cdot18\%$ および $0\cdot05\%$ の C 水準に変えた真空溶解材からの 7 mm 厚熱延材について、Nb および V 添加による強度変化を調べた。この結果を「この系の強度上昇は冷却時に α 地に整合して (coherent) 析出した NbC および V_4C_3 などによる析出硬化による」という前提に基づいて、主として炭化物の分離分析、電顕による析出物の観察および鋼中の炭化物の溶解度に関する既知の諸結果を用いて評価し、以下のことを明らかにした。

(1) Nb 単独添加の効果

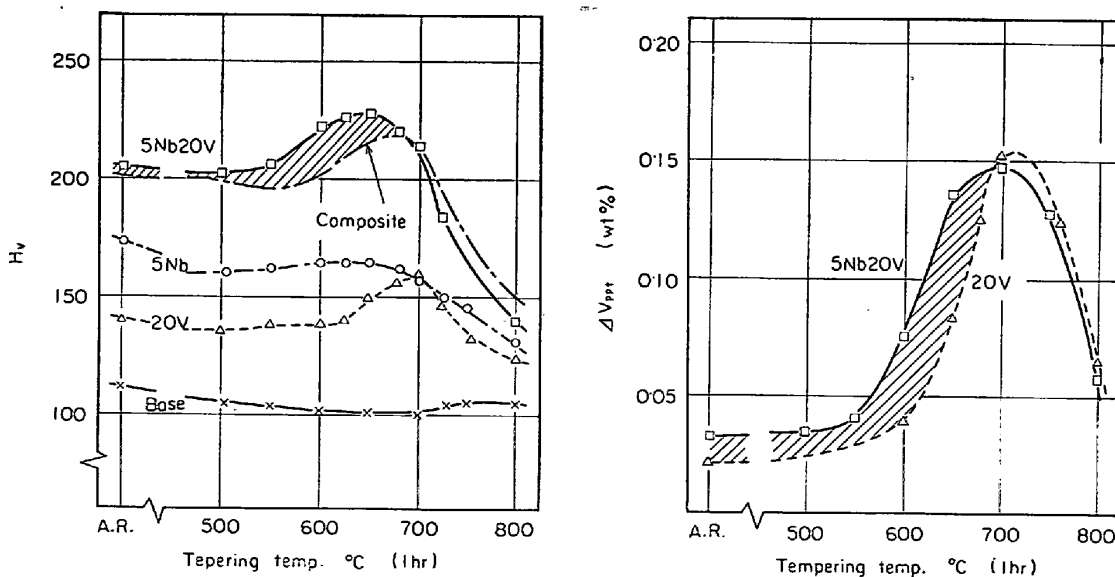


Fig. 12. Effect of Nb addition on (a) hardness and (b) amount of V precipitates in hot rolled and tempered $0\cdot05\%$ C-steels.

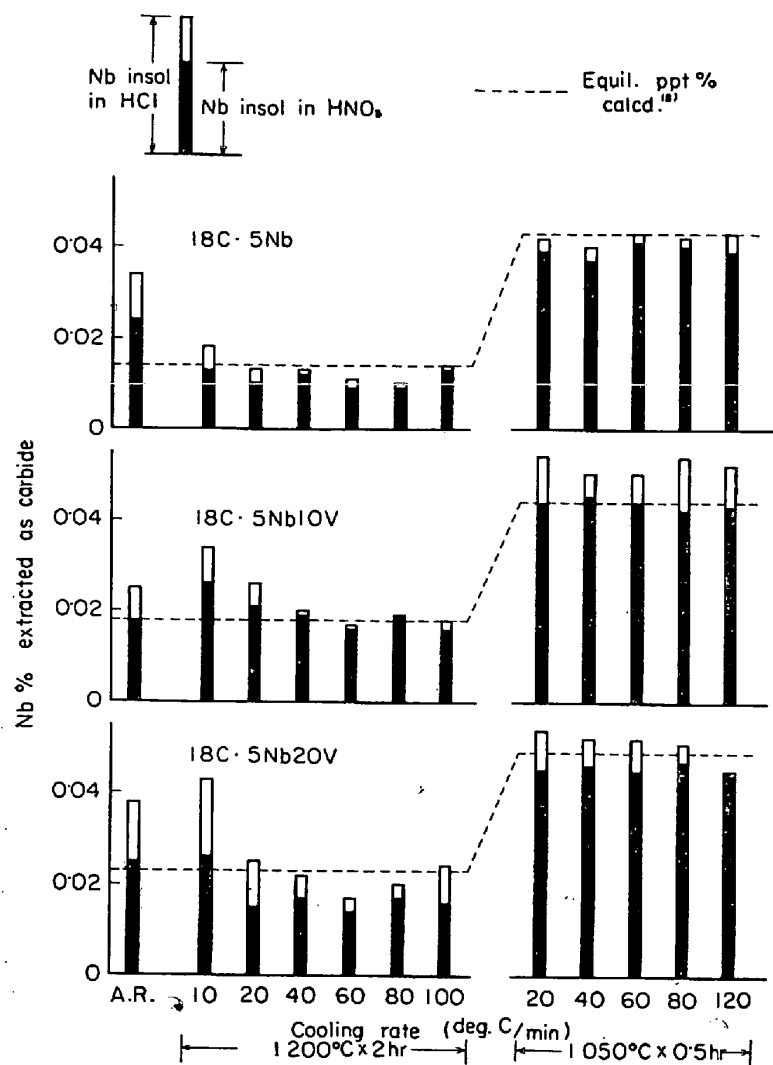
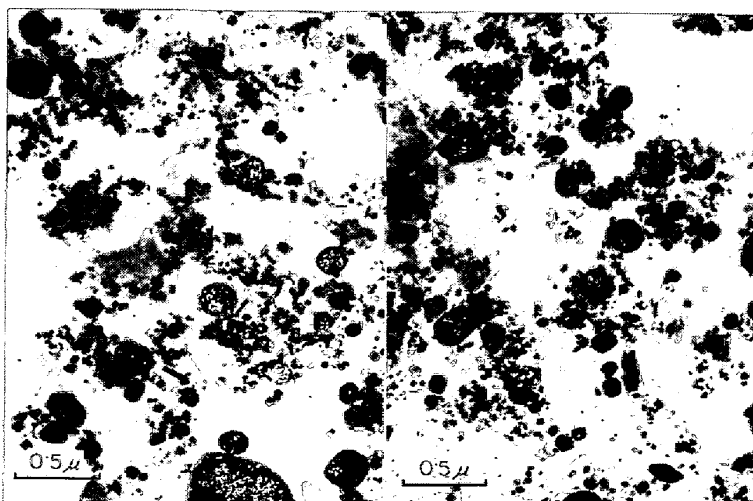


Fig. 13. Amounts of precipitates extracted from 0·18%C-Nb-steels cooled at various cooling rates from two austenitizing temperatures.



(a) NbC insol in HCl (b) NbC insol in HNO₃
Photo. 13. Precipitates extracted from 18C-5Nb cooled at 80 deg C/min from 1050°C.

HNO₃ 不溶 NbC はいずれも熱延材中の HCl 不溶 NbC より多いことから、これらの微細 NbC の一部は 1050°C の γ 中で核発生し成長したものである可能性が大きい。

以上の結果を総合すると、含 Nb 鋼中の炭化物の分離抽出にあたつては、γ 中で析出した NbC は相当微細なものであつても HNO₃ 不溶部分に入るところがわかる。いいかえると、以上の結果からは相当の確からしさをもつて、α 中で析出し部分的にでも地との整合性を持つ NbC は冷 HCl には不溶であるが HNO₃ には可溶となると解釈してよいであろう。

0·05% C 系については、3·2 章で述べたように、とくに 0·10% の Nb を含む 5C-10Nb でも均熱時にはほとんど全量の Nb が γ 中に固溶しながら、抽出分離残さ中には多量の Nb insol in HNO₃ が存在しこれは熱延時の γ 中析出の NbC で析出硬化には無縁の NbC であると同定された (Table 4). Photo. 14 にこの 5C-10Nb 热延材から分離された HCl 不溶および HNO₃ 不溶 NbC の電顕写真を示す。先の Photo. 13 と同様に、この Photo. 14(b) にも γ 中で再析出したと考えられる細かい NbC が存在し、これらは Photo. 14(a) 中の α 中に析出したと考えられる微細な NbC との間に粒子の大きさの差は認められない。

以上の諸結果に基づき、本研究では、α 地に析出し、材料の強化に関与する析出 Nb 量として Nb insol in HCl-Nb insol in HNO₃

$$\equiv \Delta Nb_{ppt}$$

の値を採用した。このような同定には現在のところ理論的根拠もなく、また実験的確認についても不十分である。しかしこの種の非調質材にあつては、これらの NbC が析出した地とそれらが分離されたときの地が同一であるかどうかによつて、いいかえるとそれらの NbC が分離されたときの地との間に部分的にでも整合性を持っていたかどうかによつて、いつたん HCl で分離された後でも表面状態に差が残り、より強い酸である HNO₃ との反応性にも差が残るということは十分ありうることと考えられる。さらにこうして得た ΔNb_{ppt} と強度上昇 $\Delta YP_{(N=10)}$ の関係を示す Fig. 3 および 5 で一般的に予測しうるようなやわらかな上昇曲線が得られていることは、上記の分離同定の可否に関して肯定的な事実のひとつと考えてよいであろう。

Appendix II

冷却時の NbC および V₄C₃ の析出 開始温度

このたびの熱延材のように比較的急冷されて

